

## 벡터 내적을 위한 효율적인 ROM 면적 감소 방법

최정필, 성경진, 유경주, 정진균

전북대학교 정보통신공학과

전화 : (0652) 270-2466 / 팩스 : (0652) 270-2461

## Efficient ROM Size Reduction for Distributed Arithmetic

Jung-Pil Choi, Kyung-Jin Sung, Kyung-Ju Yoo, Jin-Gyun Chung

Dept. of Information and Communication Engr. Chonbuk National Univ.

E-mail : jgchung@moak.chonbuk.ac.kr

### ABSTRACT

In distributed arithmetic-based architecture for an inner product between two length- $N$  vectors, the size of the ROM increases exponentially with  $N$ . Moreover, the ROMs are generally the bottleneck of speed, especially when their size is large.

In this paper, a ROM size reduction technique for DA (Distributed Arithmetic) is proposed. The proposed method is based on modified OBC (Offset Binary Coding) and control circuit reduction technique. By simulations, it is shown that the use of the proposed technique can result in reduction in the number of gates up to 50%.

### I. 서론

두 벡터의 곱셈은 콘볼루션이나 DCT의 구현에 필요한 연산이다[1-3]. 그러나 벡터의 곱셈을 하드웨어로 구현시 경우에 따라 큰 면적 및 처리 시간이 요구되며 이러한 문제점을 해결하기 위한 대표적인 방식이 Distributed Arithmetic(DA)이다[4].

두 벡터의 내적을 계산할 때 하나의 벡터값이 알려져 있다면 내적에 관한 식을 재 조합함으로써 곱셈 없이 쉬프트와 가산기로써 동일한 결과 값을 얻을 수 있으며 하드웨어 면적을 상당히 감소시킬 수 있다. 그러나 입력 벡터길이가 커지면 ROM의 크기가  $2^N$ 으로 증

가되므로 이를 해결하기 위해 Offset Binary Coding (OBC) 방식이 제안되었다. OBC는 DA의 ROM 면적을 반으로 줄일 수 있는 방식이다[4-5].

본 논문에서는 OBC에 의해 생성된 ROM 크기를 다시 반으로 줄일 수 있는 방법을 제시한다. 이 방법은 OBC의 ROM table을 기초로 이 값들을 antisymmetric하게 만들었으므로써 ROM 면적을 반으로 줄이는 것이다. 새로운 ROM table에 이 방법을 반복 적용할 수 있으며 면적을 최대 50%까지 줄일 수 있다.

II 절에서는 DA 방식과 OBC 방식에 대해 간단히 설명하고 III, IV 절에서는 ROM 면적 감소를 위한 새로운 방법을 제시한다. V 절에서는 OBC와 새로 제안된 방법을 비교 분석한다.

### II. DA와 DA with OBC 구조

#### 1. DA 구조

길이가  $N$ 인 두 벡터  $C$ 와  $X$ 에 대해 내적은

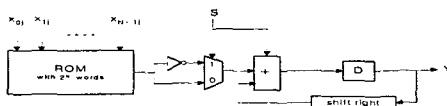
$$Y = \sum_{i=0}^{N-1} c_i x_i \quad (1)$$

으로 정의된다. (1)에서  $\{c_i\}$ 는  $M$ 비트의 상수이고  $\{x_i\}$ 는  $W$ 비트의 2의 보수로 표현된 입력 테이터이다. (1)식을 다음과 같이 나타낼 수 있다.

$$\begin{aligned} Y &= \sum_{j=0}^{W-1} C_{w-1-j} 2^{-j}, \\ C_{w-1-j} &= \sum_{i=0}^{N-1} c_i x_{i, w-1-j}, \quad C_{w-1} = - \sum_{i=0}^{N-1} c_i x_{i, w-1} \end{aligned} \quad (2)$$

\*본 연구는 정보통신부의 정보통신 우수 시범학교 지원사업에 의하여 수행되었습니다

(2)로부터  $C_{W-1-j}$ 는  $x_{i,W-1-j}$ 에 의해 결정되고  $2^N$ 개의 가능한 값만을 가지므로 이를 미리 계산해 ROM에 저장할 수 있다. 입력 벡터  $x_{i,W-1-j}$ 는 ROM값을 읽기 위한 주소로 사용되며  $Y$ 값은 단지 ROM에 저장된  $C_{W-1-j}$ 를 쉬프트하고 더함으로써 얻어진다. 표 1은 입력 벡터의 크기가  $N=4$ 인 경우에 ROM에 저장될 값을 나타낸 것이고, 그림 1은 크기가  $N$ 인 두 벡터의 내적을 계산하기 위한 구조이다. 그림 1에서 계산은  $x_i$ 의 최하위비트 즉  $j=0$ 에서부터 시작하여  $j=W-1$  까지 진행되며  $S$ 는  $j=W-1$  일 때만 1이고 나머지는 0 이다.



[그림 1] DA에 의해 설계된 2개의 길이가  $N$ 인 벡터의 내적을 계산하기 위한 구조

[Fig. 1] Architecture of Computing Inner Product Two Length- $N$  Vectors Using Distributed Arithmetic

## 2.DA-OBC

DA 방식은 입력 벡터의 크기에 따라 ROM의 면적이 지수적으로 증가하게 되므로 입력 벡터의 크기( $N$ )가 클 경우 ROM 면적이 매우 커지게 된다. OBC 방식을 사용하면 ROM 면적을 DA방식의 반으로 줄일 수 있다. 입력 벡터  $x_{i,j}$ 는 다음과 같이 변형할 수 있다.

$x_0$	$x_1$	$x_2$	$x_3$	Content of the ROM
0	0	0	0	0
0	0	0	1	$c_3$
0	0	1	0	$c_2$
0	0	1	1	$c_1 \cdot c_3$
0	1	0	0	$c_1$
0	1	0	1	$c_1 \cdot c_3$
0	1	1	0	$c_1 \cdot c_2$
0	1	1	1	$c_1 \cdot c_2 \cdot c_3$
1	0	0	0	$c_0$
1	0	0	1	$c_0 \cdot c_3$
1	0	1	0	$c_0 \cdot c_2$
1	0	1	1	$c_0 \cdot c_2 \cdot c_3$
1	1	0	0	$c_0 \cdot c_1$
1	1	0	1	$c_0 \cdot c_1 \cdot c_3$
1	1	1	0	$c_0 \cdot c_1 \cdot c_2$
1	1	1	1	$c_0 \cdot c_1 \cdot c_2 \cdot c_3$

[표 1] DA의 ROM 값

[Table 1] Content of the ROM of DA

$x_0$	$x_1$	$x_2$	$x_3$	Content of the ROM
0	0	0	0	$-(c_0 \cdot c_1 \cdot c_2 \cdot c_3)/2$
0	0	0	1	$-(c_0 \cdot c_1 \cdot c_2 \cdot c_3)/2$
0	0	1	0	$-(c_0 \cdot c_1 \cdot c_2 \cdot c_3)/2$
0	0	1	1	$-(c_0 \cdot c_1 \cdot c_2 \cdot c_3)/2$
0	1	0	0	$-(c_0 \cdot c_1 \cdot c_2 \cdot c_3)/2$
0	1	0	1	$-(c_0 \cdot c_1 \cdot c_2 \cdot c_3)/2$
0	1	1	0	$-(c_0 \cdot c_1 \cdot c_2 \cdot c_3)/2$
0	1	1	1	$-(c_0 \cdot c_1 \cdot c_2 \cdot c_3)/2$
1	0	0	0	$(c_0 \cdot c_1 \cdot c_2 \cdot c_3)/2$
1	0	0	1	$(c_0 \cdot c_1 \cdot c_2 \cdot c_3)/2$
1	0	1	0	$(c_0 \cdot c_1 \cdot c_2 \cdot c_3)/2$
1	0	1	1	$(c_0 \cdot c_1 \cdot c_2 \cdot c_3)/2$
1	1	0	0	$(c_0 \cdot c_1 \cdot c_2 \cdot c_3)/2$
1	1	0	1	$(c_0 \cdot c_1 \cdot c_2 \cdot c_3)/2$
1	1	1	0	$(c_0 \cdot c_1 \cdot c_2 \cdot c_3)/2$
1	1	1	1	$(c_0 \cdot c_1 \cdot c_2 \cdot c_3)/2$

[표 2] DA with OBC의 ROM 값

[Table 2] Content of the ROM of DA with OBC

$$x_i = \frac{1}{2} [x_i - (-x_i)] \quad (3)$$

다음과 같이  $d_{i,j}$ 를 정의 하면

$$d_{i,j} = \begin{cases} x_{i,j} - \overline{x_{i,j}}, & \text{for } j \neq W-1 \\ -(x_{i,W-1} - x_{i,W-1}), & \text{for } j = W-1 \end{cases} \quad (4)$$

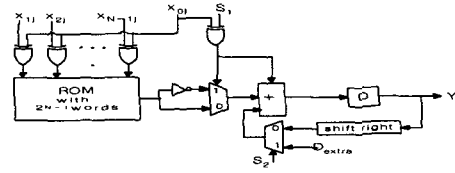
$d_{i,j} \in \{-1, +1\}$  이다. 식(1)은 아래와 같이 다시 쓸 수 있다.

$$Y = \sum_{j=1}^{W-1} D_{W-1-j} 2^{-j} + D_{extra} 2^{-(W-1)}$$

where,  $D_j = \sum_{i=0}^{N-1} \frac{1}{2} c_i d_{i,W-1-j}$  for  $0 \leq j \leq W-1$

$$D_{extra} = -\frac{1}{2} \sum_{i=0}^{N-1} c_i \quad (5)$$

위 식을 이용하여 작성한 벡터 크기  $N=5$ 인 경우 ROM table은 표 2와 같다. 표 2에서 상위  $2^{N-1}$ 개의 ROM 값과 그 나머지의 값들이 서로 antisymmetric하므로 상위  $2^{N-1}$  개의 ROM table만 있으면 나머지 값도 표현할 수 있다. 그림 2는 크기가  $2^{N-1}$ 으로 줄어든 ROM table을 사용해서 그림 1을 재구성한 구조이다. 그림 2에서  $S_1$ 은  $j = W-1$  일 때만 1이고 나머지는 0 이며  $S_2$ 는  $j=0$ 일 때만 1이고 나머지는 0이다.



[그림 2] OBC를 사용해서 그림 1을 재구성한 구조

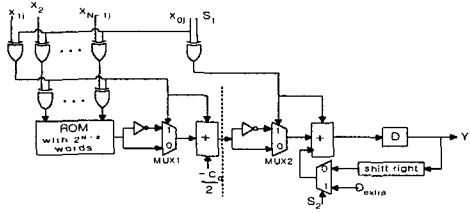
[Fig. 2] Architecture of Computing Inner Product of Two Length- $N$  Vectors Using DA with OBC coding

## III. DA-OBC의 수정된 구조

표 2의 처음  $2^{N-1}$  개의 ROM 값을 표 3과 같이  $c_0$  항을 제외한 나머지항을 따로 묶어서 표현해 보면 처음  $2^{N-2}$ 개의 값과 그 나머지 값들이 서로 antisymmetric함을 알 수 있다. 따라서, 첫 번째에서 8번째까지의 값만 있으면 그 값들의 보수를 취한 후  $-c_0/2$ 를 더하여 9번째에서 16번째까지의 값을 얻을 수 있다. 이 경우  $x_{0,i} = x_{1,i} = 0$ 에 대응하는 ROM table ( $2^{N-2}$ ) 만 있으면 되므로 DA-OBC구조에서 사용한 ROM 면적을 반으로 줄일 수 있다. 더불어 디코더 면적도 반 이상으로 줄어들게 된다. 새로운 ROM table은 표 4와 같으며 표 4에서  $c_1$ 항을 제외한 나머지를 묶으면 역시 ROM 값들이 antisymmetric하게 되어 그 ROM 크기를 반으로 줄일 수 있다. 같은 방법을 계속 반복하면 ROM 면적을 최대 2워드까지 줄일 수 있다.

그러나 위에 기술한 것처럼 ROM 크기를 줄일 때 2 가지 문제점이 발생한다. 첫째, 그림 3에서 보듯이 부가회로가 증가한다. XOR 개수는 입력 벡터 크기에 비례하고 나머지의 면적은 계수에 비례하여 커진다. ROM 면적은 입력벡터크기, 계수워드길이에 비례하므로 입력 벡터 크기가 커질수록 면적 감소의 효과가 커진다. 전체적인 면적 감소의 효과를 얻기 위해서는 XOR, MUX(multiplexer), INV(inverter), FA의 면적 증가를 ROM과 디코더 면적의 감소 폭 이하로 최소화

## 벡터 내적을 위한 효율적인 ROM 면적 감소 방법



[그림 3] 그림 2의 ROM의 크기를 절반으로 줄인 구조  
[Fig. 3] Reduction of ROM part of Fig. 2

Content of the ROM		
X1j	X2j	X3j
0 0 0	-c0/2-(c1,c2,c3)/2	
0 0 1	-c0/2-(c1,c2,c3)/2	
0 1 0	-c0/2-(c1,c2,c3)/2	
0 1 1	-c0/2-(c1,c2,c3)/2	
1 0 0	-c0/2+(c1,c2,c3)/2	
1 0 1	-c0/2+(c1,c2,c3)/2	
1 1 0	-c0/2+(c1,c2,c3)/2	
1 1 1	-c0/2+(c1,c2,c3)/2	

[표 3] C0을 제외한 나머지를  
묶은 경우의 ROM Table  
[Table 3] Content of the ROM  
in Fig. 3

Content of the ROM		
X1j	X2j	X3j
0 0 0	-c1,c2,c3)/2	
0 0 1	-c1,c2,c3)/2	
0 1 0	-c1,c2,c3)/2	
0 1 1	-c1,c2,c3)/2	
1 0 0	-c1,c2,c3)/2	
1 0 1	-c1,c2,c3)/2	
1 1 0	-c1,c2,c3)/2	
1 1 1	-c1,c2,c3)/2	

[표 4] 크기가 절반으로 줄여  
든 ROM Table  
[Table 4] Content of the  
Reduced ROM

해야 한다. MUX, XOR, INV, FA의 첨가로 인해 critical path가 증가한다. 만일 critical path를 감소시키고자 한다면 파이프라인을 사용해야 한다.

### IV. 수정된 DA-OBC의 면적 최소화

이 절에서는 OBC 구조를 수정할 때 발생하는 ROM, Decoder, XOR, MUX, INV, FA에 대한 면적 변화를 TR 단위로 분석하고 XOR, FA의 면적 증가를 최소화하기 위한 방법을 기술한다.  $N_c$ 는 입력 벡터의 크기,  $N_i$ 는 입력 벡터의 워드길이,  $N_c$ 는 계수의 워드길이를 나타낸다. 또한, AND, XOR, MUX, INV는 각각 4, 8, 6, 2개의 TR로 구성되는 것으로 가정한다.

#### 1. Decoder, ROM

디코더 면적은  $N_c$ 에만 관계되고  $N_i$  및  $N_c$ 와는 무관하다. OBC와 수정된 OBC구조에서 디코더에 들어가는 AND 게이트의 개수를 각각  $D_{OBC}$ ,  $D_{mod}$ 라고 하면 AND 게이트에 TR 4개가 사용될 경우 줄어든 TR 개수는 다음과 같다.

$$D_r = (D_{OBC} - D_{mod}) \times [\text{AND gate size (TR's)}]$$

$$= [2(N_c - 2) + 2^{(N_c-1)}] \times 4 \quad (\text{TR's}) \quad (6)$$

OBC와 수정된 OBC의 ROM 면적이 각각  $R_{OBC}$ ,  $R_{mod}$  일 때 ROM 면적 감소량은 다음과 같다.

$$R_r = R_{OBC} - R_{mod} = 2^{N_c-2} \times N_c \quad (\text{TR's}) \quad (7)$$

#### 2. MUX(multiplexer), INV(inverter)

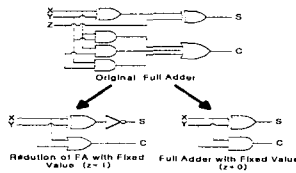
MUX와 INV에 의한 면적 증가는 단지 계수의 워드길이에 좌우된다. OBC를 수정할 때 MUX와 INV가 하나씩 추가되므로 면적 증가는 다음과 같다.

$$M_i = 6 \times N_c \quad (\text{TR's}) \quad (8)$$

$$I_i = 2 \times N_c \quad (\text{TR's}) \quad (9)$$

#### 3. FA(Full Adder)

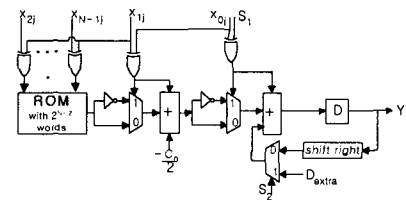
FA는 다른 회로 비해 면적이 매우 크므로 그 면적을 효과적으로 줄이는 것이 무엇보다도 중요하다. 그림 4에서 OBC를 수정할 때 첨가되는 FA는 입력 하나가  $-C_0/2$ 로 고정되어 있다. 그러므로 고정된 입력 값이 0인 경우와 1인 경우로 나누어서 원래의 FA를 재구성하면 그림 4와 같다.



[그림 4] 하나의 고정된 입력값을 갖는 FA  
[Fig. 4] FA with Fixed values

예를 들어 계수의 워드길이가 8인 경우 총 8개의 FA가 필요하게 된다. 만일 원래의 전가산기를 쓰게되면  $8 \times 30 = 240$ (TR's)이나 면적이 감소된 FA를 쓰면 계수의 각 비트가 모두 1인 최악의 경우  $8 \times 14 = 112$ 로써 FA의 면적을 절반 이상 감소시킬 수 있다. 평균적으로 계수의 각 비트의 절반이 1의 값을 갖는다고 할 때를 가정해 계산해보면  $4 \times 14 + 4 \times 12 = 104$ (TR's)이다. 이를 식으로 표현하면 다음과 같다.

$$F_i = \frac{N_c}{2} \times 14 + \frac{N_c}{2} \times 12 = 13N_c \quad (\text{TR's}) \quad (10)$$



[그림 5] 그림 3의 control block을 간소화한 구조  
[Fig. 5] Reduction of Control Block in Fig. 3

#### 4. XOR(Exclusive OR)

그림 3의 control block을 보면 OBC를 수정할 때 ( $N_c - 2$ )만큼의 XOR 게이트가 증가하게 된다. 그런데, control block의 입력과 출력을 분석해 보면 수정된 회

로의 XOR 게이트 개수를 원래의 OBC와 같은 개수로 줄일 수 있다는 것을 알 수 있다. 즉, 그림 3의 control block의 동작은 표 4와 같이 ROM 입력 및 MUX1, MUX2의 control 입력에 관한 테이블로 정리 할 수 있다. 표 4를 참조하여 그림 2의 control block을 재구성하면 그림 5와 같게 된다.

## V. OBC와 수정된 OBC의 비교

OBC를 수정할 때 감소 및 증가한 TR 개수는  $D_r + R_r$ 이고 총면적증가량은  $M_i + I_i + F_i$  이므로

$$D_r + R_r > M_i + I_i + F_i \quad (11)$$

를 만족하는  $N_c$ 와  $N_t$ 를 가질 때 본 논문에서 제시한 구조를 사용하면 면적 감소의 효과를 얻을 수 있다.

그림 6(a)은  $N_c$ 가 4~16,  $N_t$ 가 4~16 일 때 각각의 경우에 대한 면적감소량을 백분율로 도시한 것이다. 그림 6을 보면 백터크기가 5이하인 경우에는 오히려 면적이 증가하는 역효과가 발생함을 알 수 있다. 그러나 모든  $N_c$ 에 대해  $N_t$ 가 6인 시점부터 면적 감소의 효과가 발생하여서  $N_t$ 가 점차적으로 커짐에 따라 최대 약 50%까지 면적을 감소시킬 수 있음을 알 수 있다. 즉, ROM 면적의 감소에 결정적 영향을 미치는 요소는 입력 벡터 수이며 그 이유는  $N_c$ 가 커지면 ROM 면적의 감소율이 커지는 반면 기타 FA나 MUX의 면적도 그만큼 증가하므로 전체 면적의 감소율은 별로

	ROM input	MUX1 control input	MUX2 control input
$x_{0j}=0, x_{1j}=0$	$x_{2j} x_{3j}$	non inverting	non inverting
$x_{0j}=0, x_{1j}=1$	$\overline{x_{2j}} x_{3j}$	inverting	non inverting
$x_{0j}=1, x_{1j}=0$	$x_{2j} \overline{x_{3j}}$	inverting	inverting
$x_{0j}=1, x_{1j}=1$	$\overline{x_{2j}} \overline{x_{3j}}$	non inverting	inverting

[표 4] Control Block의 입출력 비교

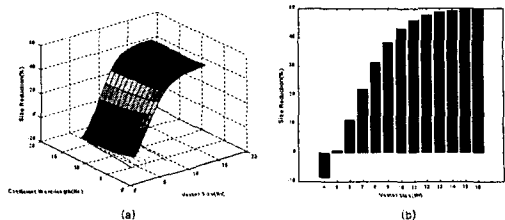
[Table 5] Relation Between Input and Output of Control Block

Logic	Architecture using OBC	Modified Architecture	Difference
Decoder	$170 \times 4 = 680$	$94 \times 4 = 396$	-284
ROM	$128 \times 8 = 1024$	$64 \times 8 = 512$	-512
XOR	$7 \times 8 = 56$	=56	
MUX	$8 \times 2 \times 8 = 96$	$96 + 8 \times 6 = 144$	+48
INV	$8 \times 2 = 16$	$16 + 8 \times 2 = 32$	+16
AND	$1 \times 4 = 4$	= 4	
Register	$8 \times 16 = 128$	= 128	
Shift Acc.	$8 \times 16 = 128$	= 128	
FA	$8 \times 30 = 240$	$240 + (14 \times 4 \times 12 \times 4) = 344$	+104
Total	2372 TR's	1744 TR's	-628

[표 6]  $N_v=N_c=8$  인 경우의 면적 비교

[Table 6] Size Comparison for  $N_v=N_c=8$

커지지 않으나  $N_t$ 가 커지면 FA나 MUX의 면적은 증가하지 않고 ROM의 면적만 줄어들게 되기 때문이다. 그림 7(a)는  $N_c=8$ ,  $N_t=4\sim16$ 에 대해 면적 감소량을 백분율로 도시하였다. 표 6은 계수 워드길이 8, 입력 벡터 크기 8인 경우에 대해 OBC와 수정된 구조의



[그림 6] (a)  $N_c=8$ ,  $N_v=4\sim6$  일 때 면적감소율

(b)  $N_c$ 와  $N_v$ 에 대한 면적감소율

[Fig 6] (a)Size Reduction rate of modified OBC over OBC for various  $N_c$  and  $N_v$  values

(b)Size Reduction rate for  $N_c=8$ ,  $N_v=4\sim16$

면적을 비교 분석해 놓았다.

## VI. 결론

두 벡터의 내적을 계산할 때 ROM을 사용하여 곱셈기의 직접적인 구현 없이 하드웨어 소모를 효과적으로 감소시킬 수 있다. 그리고 OBC 방법에 의해 DA에 사용된 ROM 면적을 반으로 줄일 수 있다. 본 논문에서는 OBC의 ROM table을 분석함으로써 OBC에 사용된 ROM 면적을 반으로 줄일 수 있음을 보였고, control block 면적의 최소화 방법을 제시하였다.

제안된 방법을 반복해서 적용하면 ROM 크기를 최대 2 워드까지 줄일 수 있으나 기타 논리 회로와 critical path가 증가하므로 설계자가 상황에 따라 주어진 속도와 면적을 고려하여 적절히 선택해야 한다.

## 참고문헌

- [1] M. T. Sun, T. C. Chen, and A. M. Gotlieb, "VLSI implementation of a  $16 \times 16$  discrete cosine transform," *IEEE Trans. on Circuits and Systems*, vol. CAS-36, no. 4, pp. 610-617, Apr. 1989.
- [2] M.T. Sun, L. Wu, and M. L. Liou, "A concurrent architecture for VLSI implementation of discrete cosine transform," *IEEE Trans. on Circuits and Systems*, vol. CAS-34, no. 8, pp. 992-617994, Aug. 1987.
- [3] N. Demassieux and F. Jutand, "Orthogonal transforms," in *VLSI Implementations for Image Communications* (P. Pirsch, ed.), pp. 217-250, Elsevier, 1993.
- [4] C. S. Burrus, "Digital filter structures described by distributed arithmetic," *IEEE Trans. on Circuits and Systems*, Dec. 1977.
- [5] K. K. Parhi, *VLSI Digital Signal Processing Systems*, John Wiley & Sons, Inc. 1999.